

## Контрольные вопросы

1. Оцените емкость МДП-структуры в режиме обеднения при подаче на затвор импульса напряжения амплитудой 20 В при концентрации донорной примеси  $10^{16}$  см $^{-3}$  и толщине диэлектрика 0,5 мкм.

2. Запишите уравнение, описывающее выходную ВАХ МДП-транзистора в активной области работы (на пологом участке ВАХ), с учетом влияния модуляции длины канала и напряжения подложки.

3. Перечислите основные параметры МДП-транзистора для усиительного и ключевого режимов эксплуатации, приведите ориентировочные значения параметров для интегральных и мощных МДП-транзисторов.

4. Изобразите диаграммы изменения тока стока и напряжения стока МДП-транзистора в ключевом режиме эксплуатации для двух значений емкости затвора; то же для двух значений сопротивления нагрузочного резистора.

5. Определите особенности работы в ключевом режиме коммутационной пары МДП-транзисторов во сравнении с одиночным МДП-транзистором.

6. Оцените значение остаточного напряжения и длительности положительного и отрицательного фронтов МДП-транзистора в ключевом режиме при амплитуде напряжения затвора 5 В,  $E_c=30$  В,  $R_s=30$  Ом,  $C_o=2000$  нФ,  $S=1$  А/В,  $U_{\text{всп}}=1$  В; то же с учетом эффекта Миллера.

7. Определите основные особенности структуры и построения цепи управления мощных МДП-транзисторов.

8. Сравните основные параметры и характеристики СИТ с МДП-транзисторами с точки зрения эксплуатации этих приборов в усиительном и ключевом режимах.

9. Оцените время вывода информации из ПЗС в периодах тактовой частоты, если информационный зарядовый пакет находился под n-м затвором.

с длиной волны  $\lambda$  от 10 нм до 1 мм $^1$ . По физическим свойствам оптический диапазон воли неоднороден. Поэтому принято оптический диапазон делить на поддиапазоны, в которых физические свойства в определенной степени одинаковы: ультрафиолетовое излучение ( $\lambda=0,01 \div 0,4$  мкм), видимое излучение ( $\lambda=0,38 \div 0,78$  мкм), инфракрасное излучение ( $\lambda=0,78 \div 1$  мм) (рис. 5.1).

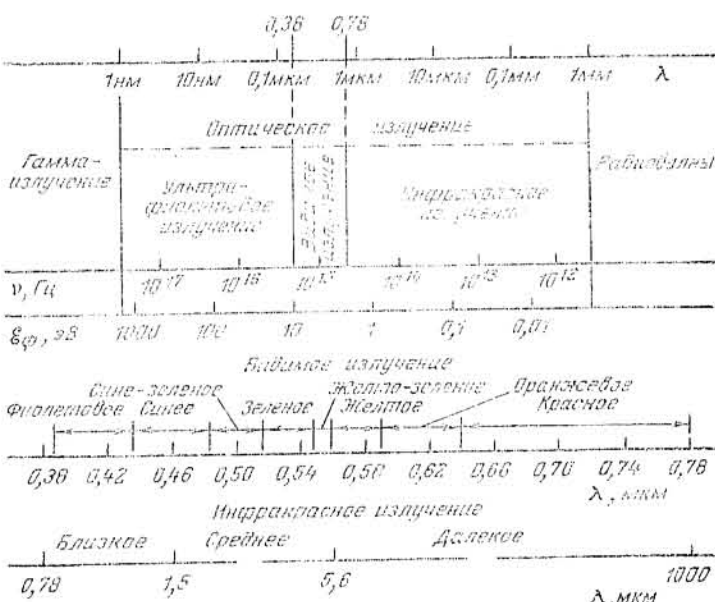


Рис. 5.1. Шкала электромагнитных волн:  
 $v$  — частота излучения;  $\mathcal{E}_\Phi$  — энергия излучения

Оптическое излучение характеризуют фотометрическими параметрами. Различают фотометрические параметры энергетические и световые.

Энергетические параметры характеризуют излучение безотносительно к его действию на какой-либо приемник излучения и связаны с переносимой излучением энергией.

С помощью световых параметров оценивают излучение

<sup>1</sup> 1 мм =  $10^3$  мкм =  $10^6$  нм.

## Глава пятая

### ОПТОЭЛЕКТРОННЫЕ ПОЛУПРОВОДНИКОВЫЕ ПРИБОРЫ

#### 5.1. ОПТИЧЕСКОЕ ИЗЛУЧЕНИЕ

##### 5.1.1. ЭНЕРГЕТИЧЕСКИЕ И СВЕТОВЫЕ ПАРАМЕТРЫ

Принципиальная особенность оптоэлектронных приборов состоит в использовании оптического излучения.

Оптическое излучение — это электромагнитные волны

в случае, если приемником излучения служит человеческий глаз. Чувствительность глаза к свету с разными длинами волн неодинакова. Она имеет максимум при  $\lambda = 0,555$  мкм и быстро снижается при удалении от этого максимума. На границах видимого диапазона ( $\lambda = 0,38$  и  $0,78$  мкм) чувствительность глаза практически падает до нуля.

На рис. 5.2 показана относительная спектральная световая эффективность глаза, адаптированного на дневной (1) и ночной (2) свет. Относительная спектральная светочувствительность  $V(\lambda)$  выражена в единицах Вт/Вт.

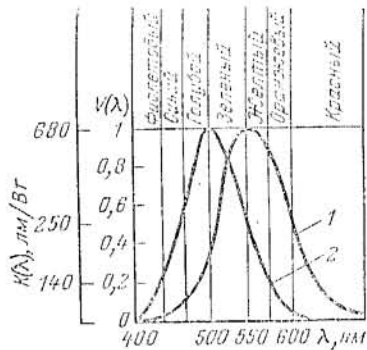


Рис. 5.2. Спектральная характеристика чувствительности человеческого глаза

эффективность  $V(\lambda)$  представляет собой результат усреднения многих исследований. Оптическое излучение в видимом диапазоне описывается световыми параметрами и характеристиками.

Таким образом, энергетические и световые параметры излучения по смыслу одинаковы, но характеризуют излучение в различных дипазонах волн и имеют различные единицы измерения. Количественные характеристики видимого света связаны со зрительным ощущением; в инфракрасном и ультрафиолетовом поддиапазонах оптического излучения, не воспринимаемого глазом, параметры характеризуют непосредственно энергию, переносимую излучением. Световые и энергетические параметры связаны пропорциональной зависимостью.

Для количественного описания оптического излучения, а также источников и приемников излучения используются пять основных энергетических параметров: поток излучения и сила излучения — параметры, характеризующие излучение; энергетическая светимость и энергетическая яркость —

эти параметры характеризуют источник излучения с учетом площади излучаемой поверхности; энергетическая освещенность (облученность) — этим параметром характеризуют облучаемую, т. е. принимающую излучение, поверхность. Для видимого излучения применяются, соответственно пять световых параметров: световой поток, сила света, светимость, яркость и освещенность.

Параметры оптического излучения, расчетные формулы, единицы величин и обозначения сведены в табл. 5.1.

Таблица 5.1. Фотометрические параметры излучения

Параметр	Энергетические параметры		Световые параметры		Формула (см. рис. 5.3)	
	Обозначение	Единица измерения	Параметр	Обозначение	Единица измерения	
Поток излучения	$\Phi_e$	Вт	Световой поток	$\Phi_v$	лм	$\Phi = dW/dt$ , где $W$ — энергия излучения
Сила излучения	$I_e$	Вт/ср	Сила света	$\mathcal{J}_v$	кд·лм/ср	$I = d\Phi/d\Omega$ , где $\Omega$ — телесный угол
Энергетическая светимость	$M_e$	Вт/м <sup>2</sup>	Светимость	$M_v$	лм/м <sup>2</sup>	$M = d\Phi/dS$
Энергетическая яркость	$L_e$	Вт/(ср·м <sup>2</sup> )	Яркость	$L_v$	кд/м <sup>2</sup>	$L = \frac{dI}{dS \cos \theta}$
Энергетическая светоизделиваемость (облученность)	$E_e$	Вт·м <sup>2</sup>	Освещенность	$E_v$	лк·лм/м <sup>2</sup>	$E = d\Phi/dS$

В ряде случаев эксплуатации излучателей требуется перевод имеющихся световых параметров в энергетические и наоборот. Так, в паспортных данных на светоизлучающие диоды излучение характеризуется обычно силой света или яркостью. Применение же этих приборов, например, в устройствах оптической связи и сигнализации не позволяет непосредственно использовать световые параметры. Переход к энергетическим параметрам осуществляется с помощью световой эффективности, которая в общем случае равна:

$$K = \frac{\Phi_v [\text{лм}]}{\Phi_e [\text{Вт}]} = \frac{\mathcal{J}_v [\text{кд}]}{\mathcal{J}_e [\text{Вт/ср}]} = \frac{L_v [\text{кд}/\text{м}^2]}{L_e [\text{Вт}/(\text{ср} \cdot \text{м}^2)]}. \quad (5.1)$$

зано прежде всего с ростом падения напряжения на объемном сопротивлении базы фотодиода  $r_B$  (см. рис. 5.42, б). Снижение фото-ЭДС  $U_x$  объясняется уменьшением высоты потенциального барьера при накоплении избыточного заряда электронов в  $n$ -области и дырок в  $p$ -области; как следствие этого процесса, поле  $p$ - $n$  перехода хуже разделяет photoносители и рост фото-ЭДС при увеличении потока излучения замедляется.

*Спектральная характеристика.* Из (5.43), воспользовавшись известным соотношением  $v = c_0/\lambda$ , можно получить зависимость чувствительности  $S_\Phi$  от длины волны  $\lambda$ , т. е. спектральную характеристику

$$S_\Phi = I_\Phi / \Phi = q \eta \tau_B \lambda / c_0, \quad (5.44)$$

где  $c_0$  — скорость света.

Из (5.44) следует, что спектральная характеристика, во-первых, линейна, во-вторых, проходит через начало координат (см. рис. 5.39).

Реальная спектральная характеристика, изображенная на рис. 5.39 пунктиром, отклоняется от выражения

Рис. 5.46. Световые характеристики фотодиода в фотодиодном и фотогальваническом режимах ( $I_s$  и  $U_x$ )

(5.40). Снижение чувствительности в области коротких волн связано с тем, что при уменьшении длины волны энергия излучения поглощается в тонком приповерхностном слое, где скорость рекомбинации за счет ловушек значительно больше, чем в глубине материала. Таким образом, коротковолновая граница чувствительности фотодиода зависит от толщины базы и от скорости поверхностной рекомбинации. Уменьшая толщину базы и скорость рекомбинации, можно сдвигать коротковолновую границу чувствительности фотодиода в сторону уменьшения длины волны. Сдвиг чувствительности в области длинных волн соответствует длинноволновой границе спектральной чувствительности материала.

Положение максимума на спектральной характеристике фотодиода сильно зависит от спектральной характеристики коэффициента поглощения материала фотодиода. Если глубина поглощения  $\chi_0$  резко уменьшается с уменьшением дли-

ны волны падающего света, как, например, в германии (см. рис. 5.37), то положение максимума определяется шириной запрещенной зоны ( $\lambda_{max} = 1,55$  мкм для Ge) и от толщины базы практически не зависит. Если же зависимость глубины поглощения  $\chi_0$  от длины волны слабая, как, например, в кремнии, то максимум спектральной характеристики может смещаться при изменении толщины базы и скорости поверхности рекомбинации. Так, максимум спектральной характеристики кремниевого фотодиода можно изменять в диапазоне  $\lambda_{max}$  от 0,6 до 1 мкм.

*Быстродействие фотодиода.* Быстродействие фотодиода определяется, с одной стороны, процессами разделения носителей, возникающих при поглощении излучения, полем  $p$ - $n$  перехода, с другой стороны — емкостью  $p$ - $n$  перехода. Разделение photoносителей полем  $p$ - $n$  перехода происходит после того, как соответствующий photoноситель (дырка или электрон) из места возникновения (генерации) продиффундирует к  $p$ - $n$  переходу. Время пролета носителей через  $p$ - $n$  переход

$$t_{pr} \approx \delta / v_{max},$$

где  $\delta$  — ширина  $p$ - $n$  перехода (см. рис. 5.40);  $v_{max}$  — максимальная скорость дрейфа носителей заряда.

В германии и кремнии  $v_{max} \approx 5 \cdot 10^4$  м/с. Ширина  $p$ - $n$  перехода, которая зависит от обратного напряжения и концентрации примесей в базе, обычно меньше 5 мкм. Следовательно, время пролета носителей через  $p$ - $n$  переход  $t_{pr} \leq 0,1$  нс.

Длительность перезаряда барьера емкости фотодиода при малом сопротивлении нагрузки определяется постоянной времени  $C_{bar} r_B$ , где  $r_B$  — сопротивление базы диода. Значение постоянной времени  $C_{bar} r_B$  для обычных фотодиодов составляет около 1 нс.

Как показывают расчеты, быстродействие фотодиодов определяется в основном длительностью диффузии photoносителей к  $p$ - $n$  переходу (см. рис. 5.40). Учитывая этот факт, рассмотрим переходные процессы в фотодиодном режиме.

Чтобы найти закон изменения фототока во времени, необходимо решить одномерное нестационарное уравнение диффузии для дырок в  $n$ -области:

$$D_p \partial^2 (\Delta p) / \partial x^2 - \Delta p / \tau_p = \partial (\Delta p) / \partial t, \quad (5.45)$$

где  $\Delta p = p - p_{no}$  — неравновесная концентрация дырок в  $n$ -базе;  $\tau_p$  — время жизни дырок в  $n$ -базе;  $D_p$  — коэффициент диффузии дырок.

Будем считать, что в момент  $t=0$  концентрация избыточных дырок во всей  $n$ -области  $\Delta p=0$ . При освещении  $n$ -области в тонком приповерхностном слое на расстоянии  $w$  от  $p-n$  перехода возникают неравновесные дырки. Ток, созданный этими дырками, определяется выражением (5.43). Поэтому граничное условие при  $x=0$  можно записать в виде

$$\frac{\partial(\Delta p)}{\partial x} \Big|_{x=0} = -\frac{I_\Phi}{qD_p}. \quad (5.46a)$$

К фотодиоду приложено обратное напряжение, поэтому второе граничное условие при  $x=w$  записывается следующим образом:

$$\Delta p|_{x=w} = 0. \quad (5.46b)$$

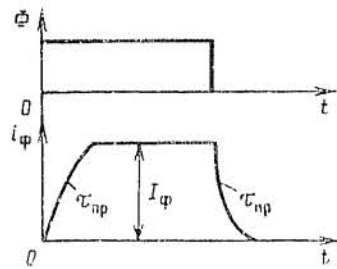


Рис. 5.47. Переключение фотодиода в фотодиодном режиме

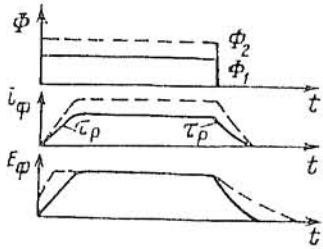


Рис. 5.48. Переключение фотодиода в фотогальваническом режиме

Решение уравнения диффузии при заданных граничных условиях имеет вид

$$i_\Phi = I_\Phi (1 - e^{-t/\tau_{np}}), \quad (5.47)$$

где  $\tau_{np} = w^2 / (2D_p)$  — время пролета неосновных носителей в  $n$ -базе.

При выключении излучения процесс исчезновения неосновных носителей определяется уходом через  $p-n$  переход и ток спадает по закону

$$i_\Phi = I_\Phi e^{-t/\tau_{np}}, \quad (5.48)$$

Диаграммы изменения фототока в фотодиодном режиме приведены на рис. 5.47.

Рассмотрим переходные процессы в фотогальваническом режиме и определим характер изменения фото-ЭДС при разомкнутой внешней цепи.

Пусть в момент  $t=0$  (рис. 5.48) на фотодиод подан прямой световой импульс. В  $n$ -области прибора начинается генерация неравновесных носителей, концентрация которых будет увеличиваться во времени. Соответственно будет увеличиваться дырочный ток через  $p-n$  переход и  $p$ -область диода будет заряжаться положительно по отношению к  $n$ -области. С ростом концентрации избыточных носителей будет увеличиваться скорость их рекомбинации. При некотором значении концентрации рекомбинация носителей и генерация носителей будут уравновешивать друг друга, а фото-ЭДС достигнет установившегося значения. После окончания светового импульса избыточные носители в  $n$ -области рекомбинируют, концентрация их уменьшается и уменьшается ток  $I_\Phi$  через  $p-n$  переход. Будет уменьшаться и фото-ЭДС. Таким образом, процесс изменения фото-ЭДС и фототока в фотогальваническом режиме определяется генерацией и рекомбинацией (накоплением и рассасыванием) избыточных носителей, скорость которых характеризуется постоянной времени жизни  $\tau_p$ , т. е. нарастание фототока происходит по закону

$$i_\Phi = I_\Phi (1 - e^{-t/\tau_p}), \quad (5.49)$$

а спад

$$i_\Phi = I_\Phi e^{-t/\tau_p}, \quad (5.50)$$

что иллюстрируется рис. 5.48.

Закон нарастания и спада фото-ЭДС можно получить из (5.40) подстановкой выражений (5.49) и (5.50):

$$\left. \begin{aligned} E_\Phi &= \Phi_t \ln \left[ \frac{I_\Phi}{I_0} (1 - e^{-t/\tau_p}) + 1 \right]; \\ E_\Phi &= \Phi_t \ln \left[ \frac{I_\Phi}{I_0} e^{-t/\tau_p} + 1 \right]. \end{aligned} \right\} \quad (5.51)$$

На рис. 5.48 приведены кривые, построенные по формулам (5.51) для разных интенсивностей освещения; видно, что с увеличением потока излучения  $\Phi$  уменьшается время нарастания и увеличивается время спада фото-ЭДС.

В фотодиодном режиме параметр  $\tau_{np}$  определяет время диффузии носителей от зоны их генерации до  $p-n$  перехода. Для уменьшения  $\tau_{np}$  можно уменьшить  $w$  (см. рис. 5.40).

Для кремния  $D_p = 0,01 \text{ м}^2/\text{с}$ ;  $w = 10 \text{ мкм}$ , т. е.  $\tau_{\text{др}} \approx 100 \text{ нс}$ . Дальнейшее уменьшение  $w$  нецелесообразно, так как снижается чувствительность фотодиода, а максимум чувствительности сдвигается в коротковолновую область, что затрудняет согласование фотодиода с излучателем. Повышение быстродействия фотодиода при сохранении высокой чувствительности стало возможным при переходе к более сложным полупроводниковым структурам.

#### 5.4.5. РАЗНОВИДНОСТИ ФОТОДИОДОВ

**Фотодиоды с  $p-i-n$  структурой.** Расширение частотного диапазона фотодиода без снижения его чувствительности возможно в  $p-i-n$  структурах (рис. 5.49).

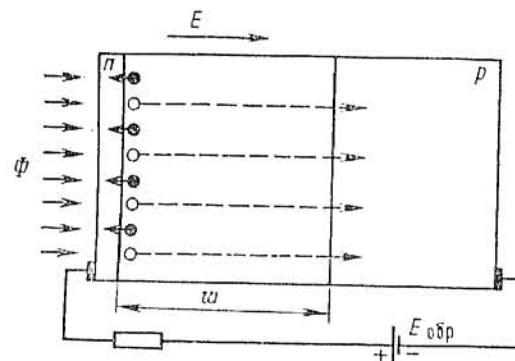


Рис. 5.49. Фотодиод с  $p-i-n$  структурой

В  $p-i-n$  структуре  $i$ -область заключена между двумя областями противоположного типа электропроводимости и имеет удельное сопротивление в  $10^6$ — $10^7$  раз большее, чем сопротивление легированных областей  $n$ - и  $p$ -типов. При достаточно больших обратных напряжениях сильное и почти однородное электрическое поле напряженностью  $E$  распространяется на всю  $i$ -область. Поскольку эта область может быть сделана достаточно широкой, такая структура создает основу для получения быстродействующего и чувствительного приемника. Дырки и электроны, появившиеся в  $i$ -области за счет поглощения излучения, быстро разделяются электрическим полем. Энергетическая диаграмма  $p-i-n$  диода при обратном смещении представлена на рис.

5.50. Около 90 % излучения поглощается непосредственно в  $i$ -области.

Повышение быстродействия обусловлено тем, что процесс диффузии через базу, характерный для обычной структуры, в  $p-i-n$  структуре заменяется дрейфом носителей через  $i$ -область в сильном электрическом поле (см. рис. 5.41 и 5.50). Время дрейфа дырок  $t_{\text{др}}$  через  $i$ -область шириной  $w$  составляет

$$t_{\text{др}} = w/v_p = w/\mu_p E, \quad (5.52)$$

где  $E$  — напряженность электрического поля в  $i$ -области;  $\mu_p$  — подвижность дырок;  $v_p = \mu_p E$  — скорость дрейфа дырок в электрическом поле.

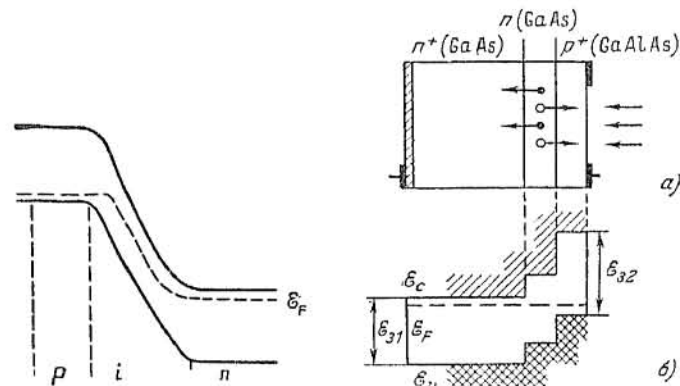


Рис. 5.50. Энергетическая диаграмма фотодиода с  $p-i-n$  структурой

Рис. 5.51. Фотодиод с гетероструктурой:  
a — структура; б — энергетическая диаграмма

При напряженности электрического поля примерно  $2 \cdot 10^6 \text{ В/м}$  достигается максимальная скорость дрейфа носителей  $v = (6 \div 8) \cdot 10^4 \text{ м/с}$ .

В этом случае при  $w = 10^{-2} \text{ см}$  получим  $t_{\text{др}} \approx 10^{-9} \div 10^{-10} \text{ с}$ . Диапазон частот для этого диода  $\Delta f \approx 10^9 \text{ Гц}$ . Это быстродействующие кремниевые фотодиоды.

Отношение времени дрейфа носителей через  $i$ -область в  $p-i-n$  фотодиоде к времени диффузии через базу в  $p-n$  фотодиоде можно представить в виде

$$\frac{t_{\text{др}}}{t_{\text{диф}}} \approx \frac{w/\mu_p E}{w^2/2D_p} = \frac{w^2/\mu_p U_{\text{обр}}}{w^2/2D_p} = \frac{2\Phi_r}{U_{\text{обр}}}, \quad (5.53)$$

так как  $D_p/\mu_p = kT/q = \Phi_r$ .

Следовательно, уже начиная с  $U_{\text{обр}} = 0,1 \div 0,2$  В  $p-i-n$  фотодиоды имеют преимущество в быстродействии.

Таким образом, фотодиоды с  $p-i-n$  структурой имеют следующие основные достоинства.

1. Сочетание высокой чувствительности (на длине волны  $\lambda \approx 0,9$  мкм практически достигнут теоретический предел чувствительности  $S_{\Phi} \approx 0,7$  А/Вт) и высокого быстродействия.

2. Возможность обеспечения высокой чувствительности в длинноволновой области спектра при увеличении ширины  $i$ -области.

3. Малая барьерная емкость.

4. Малые рабочие напряжения в фотодиодном режиме, что обеспечивает электрическую совместимость  $p-i-n$  фотодиодов с интегральными микросхемами.

К недостаткам  $p-i-n$  структуры следует отнести требование высокой чистоты  $i$ -базы и плохую технологическую совместимость с тонкими легированными слоями интегральных схем.

**Фотодиоды Шоттки.** Фотодиоды со структурой металла — полупроводник (фотодиоды Шоттки) также позволяют повысить быстродействие до  $10^{-10}$  с и выше.

С точки зрения применения контакта металла — полупроводник в фотодиодах следует подчеркнуть такие основные особенности. Во-первых, в фотодиоде с барьером Шоттки появляется возможность поглощения квантов излучения с энергией, меньшей ширины запрещенной зоны, в металле контакта. При этом, если энергия кванта излучения больше высоты потенциального барьера, возбужденные электроны из металла могут перейти в полупроводник через потенциальный барьер. В результате длинноволновая граница спектральной характеристики фотодиода Шоттки сдвигается в сторону более длинных волн.

Во-вторых, в фотодиоде Шоттки с ростом энергии квантов область поглощения излучения сдвигается в слой объемного заряда, где существует поле, разделяющее фотоносители. В фотодиоде с  $p-n$  переходом при малой глубине поглощения фототок практически равен нулю. Следовательно, коротковолновая граница спектральной характеристики фотодиода Шоттки расположена при более коротких волнах. Вообще спектральная характеристика фотодиода на основе контакта металла — полупроводник значительно шире, чем спектральная характеристика фотодиода с  $p-n$  переходом из того же полупроводника.

Фотодиоды Шоттки характеризуются рядом других примечательных достоинств, важных с точки зрения применения приборов в оптоэлектронике:

1) малым сопротивлением базы фотодиода. Поэтому постоянная времени барьерной емкости  $C_{\text{бар}}/B$  у фотодиодов Шоттки порядка  $10^{-12}$  с и инерционность этих приборов определяется только временем пролета фотоносителей через область объемного заряда и составляет  $10^{-10} \div 10^{-11}$  с;

2) сочетанием высокого быстродействия и высокой чувствительности ( $S_{\Phi} = 0,5$  А/Вт);

3) простотой создания выпрямляющих фоточувствительных структур на самых разнообразных полупроводниках (в том числе и на таких, в которых не удается создать  $p-n$  переход) и, как следствие этого, возможностью управления высотой потенциального барьера Шоттки.

**Фотодиоды с гетероструктурой.** Фотодиоды с гетероструктурой представляют собой один из наиболее перспективных типов оптоэлектронных фотоприемников. В сущности, гетероструктура открывает принципиальную возможность получения фотодиода с КПД, близким к 100 %. Устройство и зонная диаграмма гетерофотодиода изображены на рис. 5.52. Слой GaAlAs играет роль окна, пропускающего излучение, поглощаемое в средней  $n$ -области (GaAs). Разницы в ширине запрещенных зон по обе стороны от гетероперехода около 0,4 эВ. Генерируемые в  $n$ -области под воздействием оптического излучения дырки беспрепятственно переносятся в  $p^+$ -область. Ширина активной  $n$ -области выбирается такой, чтобы обеспечить поглощение всего излучения. Высокая степень чистоты активной области, низкая плотность поверхностных состояний границ между слоями обеспечивают малые рекомбинационные потери фотонов.

Таким образом, при исключительно высоком КПД гетерофотодиоды сохраняют достоинства рассмотренных выше структур: сочетание высокой чувствительности с высоким быстродействием, малые рабочие напряжения.

Гетероструктура позволяет, выбрав подходящие пары полупроводников для фотодиодов, работать практически в любой части оптического диапазона длины волн. Это преимущество обусловлено тем, что в гетероструктуре рабочая длина волны определяется разницей ширины запрещенных зон и не связана со спектральной характеристикой глубины поглощения  $\chi_0$ . Вследствие хороших возможностей выбора материала базы достижимое значение фото-ЭДС у гетерофотодиодов составляет 0,8—1,1 В (в 2—3 раза выше, чем у кремниевых фотодиодов). Основным недостатком гетерофотодиодов является присущая вообще гетероструктурам сложность изготовления.

**Лавинные фотодиоды.** Одним из путей создания быстродействующих фотоприемников с высокой чувствительностью является использование лавинного пробоя, в частности создание лавинных фотодиодов. Если поле в активной зоне фотодиода велико и энергия, приобретаемая фотоносителями тока (электронами и дырками) в этом поле превышает энер-

гию образования электронно-дырочных пар, то начинается лавинообразный процесс размножения носителей. Процесс размножения начинается с генерации носителей под действием излучения, т. е. имеем фотодиод с лавинным размножением носителей.

Усиление первичного фототока в лавинном фотодиоде определяется коэффициентом лавинного размножения:

$$M = I_{\Phi}/I_{\Phi_0}, \quad (5.54)$$

где  $I_{\Phi}$  — ток на выходе фотодиода с учетом размножения;  $I_{\Phi_0}$  — ток при отсутствии размножения.

Таким образом, коэффициент лавинного размножения в лавинном фотодиоде является коэффициентом усиления фототока.

Известно, что коэффициент размножения зависит от напряжения на переходе:

$$M = 1/[1 - (U/U_{\text{проб}})^m], \quad (5.55)$$

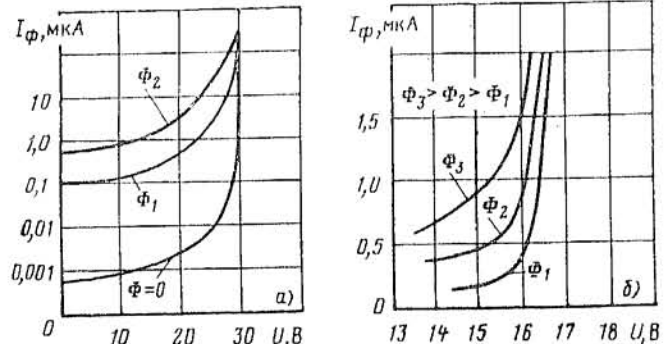


Рис. 5.52. Вольт-амперные характеристики лавинных фотодиодов

где  $U_{\text{проб}}$  — пробивное напряжение;  $U$  — напряжение на  $p-n$  переходе;  $m=1,5 \div 2$  для кремния  $p$ -типа;  $m=3,4 \div 4$  для кремния  $n$ -типа.

Тогда ВАХ лавинного фотодиода можно представить в виде

$$I_{\Phi} = I_{\Phi_0}/[1 - (U/U_{\text{проб}})^m]. \quad (5.56)$$

На рис. 5.53 представлены типичные для лавинных фотодиодов ВАХ.

Лавинные фотодиоды перспективны при обнаружении слабых оптических сигналов. Более широкое применение лавинных фотодиодов связано со значительными трудностями. Прежде всего, эти трудности определяются тем, что в предпробивном режиме коэффициент усиления фототока  $M$  резко зависит от напряжения. В самом деле, из (5.55)

можно получить выражение для расчета относительного изменения коэффициента усиления фототока при изменении напряжения на переходе:

$$\frac{dM}{M} = \frac{mM}{U} dU \left( \frac{U}{U_{\text{проб}}} \right)^m \approx mM \frac{dU}{U}. \quad (5.57)$$

Очевидно, что нормальная работа фотодиода возможна только при достаточно стабильном выходном токе  $I_{\Phi}$ , т. е. при стабильном значении коэффициента усиления  $M$ . Пусть мы хотим иметь относительные изменения коэффициента усиления не больше 10 % ( $dM/M=0,1$ ). Тогда для кремниевого фотодиода ( $m=3,5$ ;  $M=300$ ) получим  $dU/U=0,0001=0,01\%$ , т. е. для надежной работы лавинного фотодиода необходима очень высокая стабилизация питающего напряжения. Следует также подчеркнуть, что типичные значения  $U_{\text{проб}}=30 \div 100$  В. Это приводит к большим потерям энергии  $U_{\text{проб}}I_{\Phi}$  в фотодиоде. Развитие пробоя происходит не одновременно по всей площади  $p-n$  перехода, а в отдельных «микролазмах». Это вызывает дополнительную нестабильность  $M$  и увеличивает шумы. Перечисленные недостатки в сочетании с разбросом параметров у отдельных образцов ограничивают применение лавинных фотодиодов.

#### 5.4.6. ФОТОПРИЕМНИКИ С ВНУТРЕННИМ УСИЛЕНИЕМ

В фотоприемниках с внутренним усилением кроме преобразования оптического излучения в электрический ток (фототок) имеет место еще и увеличение (усиление) фототока. Основными разновидностями фотоприемников с внутренним усилением, применяемых в настоящее время в оптоэлектронике, являются фототранзистор, составной фототранзистор и фотодиод.

Через фотоприемное окно оптическое излучение попадает в рабочую область структуры. В этой области обеспечивается генерация фотоносителей, которые затем разделяются  $p-n$  переходом. Разделение фотоносителей сопровождается дополнительным увеличением их концентрации за счет механизма электрического усиления.

На рис. 5.53 представлены типичные структуры фотоприемников с внутренним усилением.

**Фототранзистор.** Фототранзистор в электрическую цепь включается обычно по схеме с общим эмиттером. База фототранзистора может не иметь внешнего вывода.

Рассмотрим работу фототранзистора в схеме (рис. 5.54, а).

<sup>1</sup> К фотоприемникам с внутренним усилением относятся, вообще говоря, и рассмотренные в § 5.45 лавинные фотодиоды.

Под действием излучения начинается генерация носителей в базе, которые затем разделяются коллекторным переходом. Дырки уходят через коллекторный переход в коллектор, а электроны остаются в базе. Для того чтобы восстановить нейтральность заряда в базе транзистора при

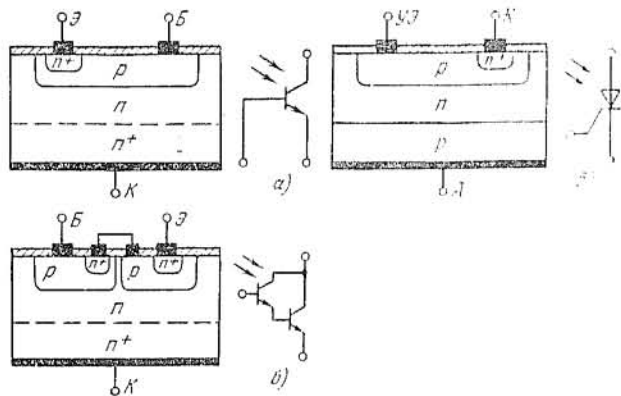


Рис. 5.53. Структуры фотоприемников с внутренним усилением:  
а — фототранзистор; б — составной фототранзистор

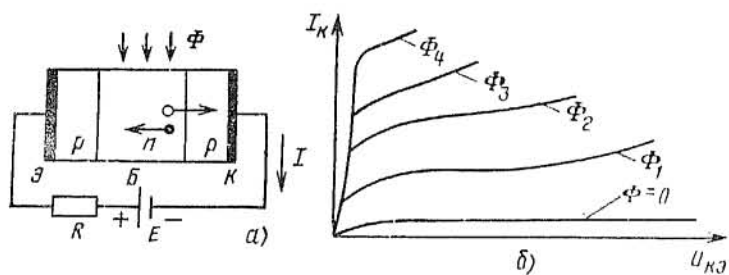


Рис. 5.54. Фототранзистор:  
а — принцип работы; б — выходные ВАХ

$I_{\text{б}} = 0$ , эмиттер инжектирует дополнительное количество положительных носителей заряда — дырок. Фототок в данном случае играет роль тока базы. Соответственно выходные характеристики фототранзистора аналогичны характеристикам биполярного транзистора (рис. 5.54, б), т. е. по сравнению с обычным фотодиодом фототранзистор дает усиление

тока в  $\beta$  раз больше, а интегральная чувствительность фототранзистора по сравнению с фотодиодом увеличивается:

$$S_{\Phi} = S_{\Phi d} \beta,$$

где  $S_{\Phi d}$  — токовая чувствительность фотодиода, образованного эмиттерным переходом транзистора;  $\beta$  — коэффициент передачи тока базы транзистора.

Повышение чувствительности — главное преимущество фототранзистора по сравнению с фотодиодом. Однако это преимущество обычно достигается за счет снижения температурной стабильности прибора, так как фототранзистор работает при постоянном токе базы.

Вообще говоря, у фототранзисторов снижается также пороговая чувствительность, так как значительно возрастает темновой ток:

$$I_t = I_{K0} (1 + \beta), \quad (5.58)$$

где  $I_{K0}$  — тепловой ток транзистора.

Применение фототранзисторов и улучшение параметров этих приборов затрудняет, в частности, следующее обстоятельство: высокий коэффициент передачи и малое время переключения требуют уменьшения толщины базовой области, что обычно приводит к снижению фоточувствительности прибора. Компромисс определяет относительно низкое быстродействие фототранзисторов ( $t_{\text{пер}} \approx 10^{-6} \div 10^{-7}$  с).

Повышение быстродействия возможно в интегральных фотоприемниках с внутренним усилением, которые представляют собой соединение фотодиода и транзистора (рис. 5.55). Раздельная оптимизация позволяет получить чувствительный, быстродействующий фотодиод и высокочастотный транзистор в единой структуре (рис. 5.55). Такая структура эквивалентна быстродействующему фототранзистору с большим внутренним усилением по току.

*Составной фототранзистор.* Применение составного фототранзистора (см. рис. 5.54) позволяет еще больше увеличить чувствительность, так как коэффициент передачи тока  $\beta$  составного транзистора значительно больше, чем у обоих его компонентов. Связь между токами в составном транзисторе (рис. 5.56) имеет вид

$$I_k = I_{k1} + I_{k2} = \beta_1 I_{b1} + \beta_2 I_{b2} = \beta_1 I_{b1} + \beta_2 (1 + \beta_1) I_{b1}. \quad (5.59)$$

Коэффициент передачи тока

$$\beta = I_k / I_{b1} = \beta_1 + \beta_2 + \beta_1 \beta_2 \approx \beta_1 \beta_2. \quad (5.60)$$

В результате чувствительность составных фототранзисторов повышается обычно более чем в 1000 раз по сравнению с чувствительностью фотодиодов.

**Фототиристор.** Рассмотрим четырехслойную *p-n-p-n* структуру фототиристора (рис. 5.57, а). Структура освещается равномерно по всей площади, которая расположена параллельно плоскостям *p-n* переходов. К структуре приложено прямое напряжение (положительный полюс к аноду, отрицательный к катоду). В статическом режиме (при про-

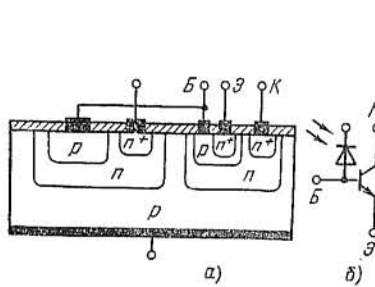


Рис. 5.55. Структура фотодиода-транзистора

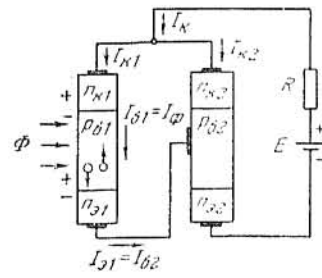


Рис. 5.56. Токи в составном фототранзисторе

текании постоянного тока) по закону непрерывности тока можно записать для тока через центральный переход *P2*:

$$I_{P2} = (I_{K0} + I_{\phi 2}) + (1 + I_{\phi 1}) \alpha_1 + (1 + I_{\phi 3}) \alpha_2, \quad (5.61a)$$

откуда получим

$$I(1 - \alpha_1 - \alpha_2) = I_{K0} + I_{\phi 1} \alpha_1 + I_{\phi 2} + I_{\phi 3} \alpha_2, \quad (5.61b)$$

где  $I_{\phi 1}$  —  $I_{\phi 3}$  — фототоки, возникающие вследствие разделения соответствующими *p-n* переходами генерированных излучением носителей;  $\alpha_1$ ,  $\alpha_2$  — коэффициенты передачи по току  $p_1$ - $n_1$ - $p_2$  и  $n_2$ - $p_2$ - $n_1$  транзисторов.

При отсутствии освещения, т. е. при  $I_{\phi 1} = I_{\phi 2} = I_{\phi 3} = 0$ , получим выражение для ВАХ фототиристора в случае двухэлектродного (динисторного) включения, которое определяет темновую характеристику фототиристоров. При освещении ток  $I$ , протекающий через структуру, будет определяться совместным действием фототоков  $I_{\phi}$  через переходы и собственным током коллекторного (центрального) перехода  $I_{K0}$ . Можно сказать, что величина  $I_{\phi 1} \alpha_1 + I_{\phi 2} + I_{\phi 3} \alpha_2$ ,

которая изменяется с изменением уровня освещенности, играет роль тока управления в обычном тиристоре, т. е. при воздействии потока излучения изменяется напряжение включения фототиристора. На рис. 5.57, б приведено семейство ВАХ фототиристора, освещаемого монохроматическим излучением, параметр семейства — поток излучения  $\Phi$ .

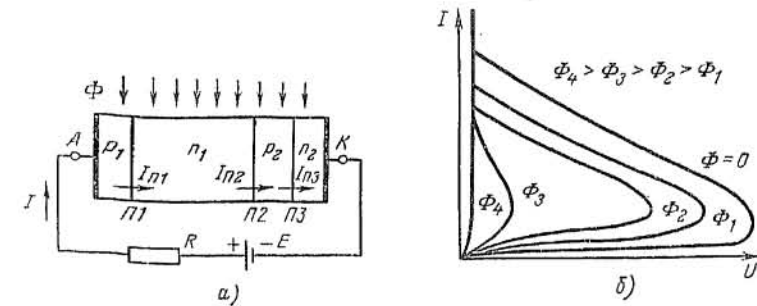


Рис. 5.57. Фототиристор:  
а — структура; б — семейство выходных ВАХ  $\Phi_1 < \Phi_2 < \Phi_3 < \Phi_4$

## 5.5. ОПТОПАРЫ

### 5.5.1. ЭЛЕМЕНТЫ ОПТОПАРЫ

Оптопарой называется оптоэлектронный прибор, содержащий излучатели и фотоприемники, оптически и конструктивно связанные друг с другом.

Принцип действия оптопары основан на двойном преобразовании энергии. В излучателях энергия электрического сигнала преобразуется в оптическое излучение, а в фотоприемниках, наоборот, оптический сигнал вызывает электрический ток или напряжение. Таким образом, оптопара представляет собой прибор с электрическими входными и выходными сигналами, т. е. связь с внешней схемой электрическая. Внутри оптопары связь входа с выходом осуществляется с помощью оптических сигналов. В электрической схеме такой прибор выполняет функцию выходного элемента — фотоприемника с одновременной электрической изоляцией (гальванической развязкой) входа и выхода. Однако сводить назначение оптопары только к обеспечению электрической изоляции было бы неверно. Введение с помощью оптопары оптического управления позволяет полу-

чить электронные устройства с исключительно своеобразными параметрами и характеристиками.

С точки зрения применения именно фотоприемник является определяющим элементом оптопары, а излучатель выбирается «под фотоприемник». С точки зрения конструктивно-технологической оба элемента — приемник и излучатель — являются «равноправными». Более того, излучателем в большинстве случаев определяются эффективность преобразования энергии и срок службы оптопары. Тем не менее еще раз следует подчеркнуть, что схемотехническое «лицо» оптопары определяет именно фотоприемник.

Принципиальные достоинства оптопар, обусловленные использованием фотонов в качестве носителей информации, заключаются в обеспечении высокой электрической изоляции входа и выхода, однородности потока информации, отсутствии обратной связи с выхода на вход и широкой полосе пропускания.

Кроме того, важными достоинствами оптопар являются: возможность бесконтактного (оптического) управления электронными объектами и обусловленные этим разнообразие и гибкость конструкторских решений управления;

невосприимчивость оптических каналов связи к воздействию электромагнитных полей, что в случае оптопар с протяженным оптическим каналом обуславливает высокую помехозащищенность, а также исключает взаимные干扰ы;

возможность создания функциональных микроэлектронных устройств с фотоприемниками, характеристики которых под действием оптического излучения изменяются по заданному (сколь угодно сложному) закону;

расширение возможностей управления выходным сигналом оптопары путем воздействия (в том числе и неэлектрического) на оптический канал и, как следствие этого, создание разнообразных датчиков и приборов для передачи информации.

Современным оптопарам присущи и определенные недостатки:

низкий КПД, обусловленный необходимостью двойного преобразования энергии (электричество — излучение — электричество), и значительная потребляемая мощность;

сильная температурная зависимость параметров;

высокий уровень собственных шумов;

конструктивно-технологическое несовершенство, связанное в основном с использованием гибридной технологии.

Перечисленные недостатки оптопар по мере совершен-

ствования материалов, технологий, схемотехники постепенно устраняются. Широкое применение оптопар определяется прежде всего неповторимостью достоинств этих приборов.

Рассмотрим отдельные элементы оптопар подробнее (рис. 5.58).

**Излучатель оптопары.** Основным излучателем современных оптопар является инжекционный излучающий диод. В будущем — для создания сверхбыстро действующих оптопар ( $t_{\text{пер}} \approx 10^{-9} \div 10^{-10}$  с) и мощных оптопар с протяженным оптическим каналом — применение полупроводниковых

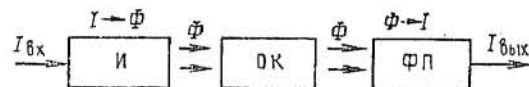


Рис. 5.58. Структура оптопары:

$I$  — излучатель;  $OK$  — оптический канал;  $\Phi P$  — фотоприемник

лазеров, характеризующихся высоким быстродействием и высокой направленностью излучения, может оказаться целесообразным и экономически оправданным.

Следует подчеркнуть отличия в конструкции оптического окна излучателя оптопары по сравнению с обычным излучающим диодом. Излучатель излучающего диода изготавливают с кольцевой излучающей областью вокруг расположенной в центре контактной площадки. В результате видимая область излучения как бы увеличивается на площадь контактной площадки. Для оптопары излучающая область должна быть минимальной по площади, что уменьшает краевые потери излучения. Минимальная площадь излучающей области ограничивается допустимой плотностью тока через излучатель. Контактная площадка в излучателе оптопары смещается из центра излучающей области. Это создает минимальное затенение и также уменьшает потери излучения при передаче к фотоприемнику. Малый размер излучающей области позволяет обеспечить, кроме того, стабильность условий оптической связи, сделать их практически независимыми от точности совмещения с приемным окном фотоприемника.

**Оптический канал.** Качество оптопары в значительной степени зависит от эффективности передачи энергии от излучателя к приемнику, т. е. от свойств оптического канала.

Для уменьшения потерь на отражение необходимо создать иммерсионную систему, в которой показатели преломления  $n$  оптической среды и материалов излучателя и фотоприемника были бы одинаковые. Такая цель принципиально достижима, так как у основных используемых полупроводниковых материалов значения  $n$  близки друг к другу.

В оптопарах используют следующие конструктивные виды оптических каналов:

связь через воздух, которая характеризуется простотой и высокой электрической изоляцией;

связь через воздух с использованием оптической фокусировки с помощью линз, что обеспечивает лучшую передачу излучения по сравнению с прямой связью через воздух;

связь с использованием иммерсионной среды, что обеспечивает наилучшие параметры оптического канала;

связь с использованием отрезка световода (обычно жесткого моноволокна), которая удобна при создании оптоизоляторов с допустимым напряжением изоляции свыше 20–50 кВ.

Таким образом, при выборе типа оптического канала необходимо в зависимости от применения оптопары удовлетворить следующие требования:

1) обеспечить заданный уровень электрической изоляции между входом и выходом оптопары (между излучателем и фотоприемником);

2) согласовать материал оптического канала с излучателем и фотоприемником спектрально, т. е. обеспечить высокую прозрачность для излучения в рабочем диапазоне длин волн;

3) снизить до минимума потери на отражение на границах излучатель — оптический канал и оптический канал — фотоприемник.

При выборе оптического канала требования к изоляции оказываются решающими, если расстояние между излучателем и фотоприемником мало. Если же расстояние достаточно велико, например, при использовании световодов, изолирующие свойства становятся менее важными. Зато

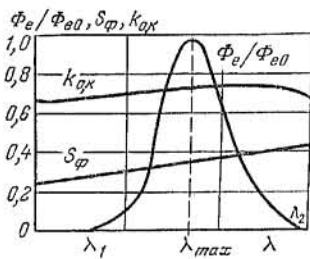


Рис. 5.59. Спектральные характеристики элементов оптопары

большое значение приобретает спектр пропускания оптического канала, который является составной частью спектральной характеристики системы И—ОК—ФП (рис. 5.59).

Мерой согласования спектральных характеристик элементов оптопары служит коэффициент спектрального согласования  $k_\lambda$ . Он определяется интегрированием произведения спектров всех элементов, входящих в систему:

$$k_\lambda = \frac{\int \frac{\Phi_e(\lambda)}{\Phi_{e0}} S_\phi(\lambda) k_{o,k}(\lambda) d\lambda}{\int \frac{\Phi_e(\lambda)}{\Phi_{e0}} d\lambda}, \quad (5.62)$$

где  $\Phi_e(\lambda)/\Phi_{e0}$  — нормализованная спектральная характеристика излучателя в относительных единицах ( $\Phi_{e0}$  — поток излучения в максимуме спектральной характеристики излучателя, т. е. при  $\lambda = \lambda_{max}$ );  $S_\phi(\lambda)$  — спектральная характеристика фотоприемника (в относительных единицах);  $k_{o,k}(\lambda)$  — спектральная характеристика оптического канала в относительных единицах ( $k_{o,k}$  — коэффициент пропускания оптического канала).

Пределы интегрирования определяются коротковолновой ( $\lambda_1$ ) и длинноволновой ( $\lambda_2$ ) границами спектра излучателя.

В общем случае материал оптического канала имеет отличный от излучателя и фотоприемника показатель преломления  $n$ . Известно, что при распространении оптического излучения из среды с показателем преломления  $n_1$  в среду с показателем преломления  $n_2$  часть излучения отражается обратно от границы раздела и теряется. Эти потери излучения называются френелевскими. Коэффициент отражения

$$R_{\text{Фр}} = \left( \frac{n_2 - n_1}{n_2 + n_1} \right)^2. \quad (5.63a)$$

Так как разность показателей преломления входит в формулу квадратично, то френелевские потери не зависят от того, входит ли излучение из среды с меньшим показателем преломления в среду с большим или, наоборот, из среды с большим показателем преломления в среду с меньшим показателем. Коэффициент пропускания границы раздела

$$T_{\text{Фр}} = 1 - R_{\text{Фр}} = 1 - \left( \frac{n_2 - n_1}{n_2 + n_1} \right)^2 = \frac{4n_2 n_1}{n_2^2 + 2n_1 n_2 + n_1^2}. \quad (5.63b)$$

Коэффициент вывода излучения  $\eta_{\text{Фр}}$ , учитывающий френелевские потери, получается при делении числителя и знаменателя выражения (5.63b) на произведение  $n_2 n_1$ :

$$\eta_{\Phi p} = \frac{4}{2 + n_2/n_1 + n_1/n_2}. \quad (5.63в)$$

Например, для кристалла излучателя на основе GaAsP ( $n=3,4$ ), излучающего непосредственно в воздух ( $n_2=1$ ), коэффициент вывода излучения, учитываящий лишь френелевские потери,

$$\eta_{\Phi p} = \frac{4}{2 + 1/3,4 + 3,4/1} = 0,702,$$

т. е. только 70,2 % излучения, достигающего поверхности кристалла излучателя, проходит через границу раздела между кристаллом и воздушным оптическим каналом.

Френелевские потери можно уменьшить ( $\eta_{\Phi p}$  увеличить), если поверхность излучателя и фотоприемника покрыть промежуточным материалом с подходящим показателем преломления. Такие материалы называются просветляющими покрытиями. Одновременно они служат изоляцией, так как материалы покрытий являются диэлектриками.

Например, для оптопары с излучателем из GaAsP ( $n_1=3,6$ ) и кремниевым фотоприемником ( $n_2=3,5$ ) с воздушным оптическим каналом ( $n=1$ ) и оптическим каналом на основе пластмассового просветляющего покрытия ( $n=1,5$ ) получим

$$\eta_{\Phi p} = \eta_{\Phi p_1} \eta_{\Phi p_2} = \frac{4}{2 + 3,6/n + n/3,6} \frac{4}{2 + n/3,5 + 3,5/n} = \\ = \begin{cases} 0,47 \text{ для } n = 1; \\ 0,698 \text{ для } n = 1,5, \end{cases}$$

т. е. при введении просветляющего покрытия френелевские потери уменьшаются почти в 1,5 раза.

**Фотоприемник.** Наиболее распространеными типами фотоприемников в современных оптопарах являются *p-i-n* фотодиоды, фототранзисторы и фототиристоры. Спектральная характеристика таких фотоприемников охватывает весь видимый диапазон спектра и часть ближней ИК-области.

Кремниевые фотодиоды являются хорошими фотоприемниками, однако для получения выходных сигналов требуемой амплитуды необходимо дополнить фотодиод усилителем. Повышать коэффициент усиления путем использования внешних по отношению к корпусу оптопары элементов неэффективно, так как увеличиваются габариты схемы. Целесообразнее поместить усилитель внутри корпуса оптопары. Это можно осуществить двумя способами. По первому

способу используется гибридная технология, которая допускает раздельное согласование фотодиода и усилителя и, как следствие этого, хорошие оптические и электрические параметры оптопары.

По второму способу — интегральному — снижается стоимость изготовления оптопары, но получаются худшие параметры.

Существуют два способа интеграции фотоприемника и усилителя:

1) использование фототранзистора, в котором приемник излучения является коллекторным переходом;

2) использование фотодиода, фототок которого усиливается транзистором, размещенным на том же кристалле.

Широкое применение в оптопарах получили составные фототранзисторы и фототиристоры.

### 5.5.2. ВХОДНЫЕ И ВЫХОДНЫЕ ПАРАМЕТРЫ ОТОПАР

В системе параметров оптопар можно выделить четыре группы: входные параметры (излучателя), выходные параметры (фотоприемника), передаточные параметры (параметры передачи сигнала со входа на выход) и параметры изоляции.

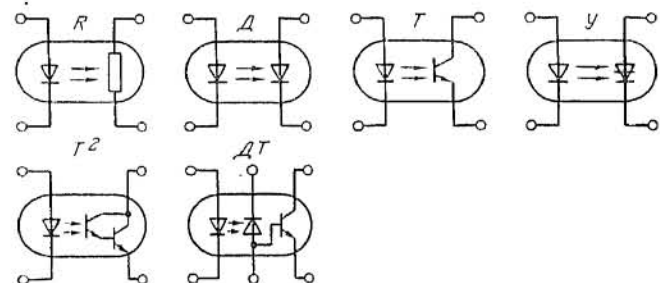


Рис. 5.60. Условные обозначения оптопар

Для наиболее распространенных оптопар будем использовать следующие сокращения: Д — диодная, Т — транзисторная, У — тиристорная, Т<sup>2</sup> — с составным фототранзистором, ДТ — диодно-транзисторная. На рис. 5.60 приведены обозначения оптопар в схемах.

Входная цепь оптопар описывается следующими (обычными для излучающих диодов) основными параметрами: номинальный входной ток  $I_{\text{вх},\text{ном}}$  — значение тока, рекомендуемое для оптимальной эксплуатации оптопары и используемое при измерении ее основных параметров;

входное напряжение  $U_{\text{вх}}$  — падение напряжения на излучающем диоде в прямом направлении при заданном значении прямого тока (обычно при  $I_{\text{вх},\text{ном}}$ );

входная емкость  $C_{\text{вх}}$  — емкость между входными выводами оптопары в заданном режиме.

Таблица 5.3. Выходные параметры оптопар

Параметр	Определение	Вид оптопары
Максимально допустимое обратное выходное напряжение $U_{\text{вых},\text{обр}}$	Максимальное значение обратного напряжения любой формы, которое допускается прикладывать к выходу оптопары	T, T <sup>2</sup> , ДТ, Д, У
Максимально допустимый выходной ток $I_{\text{вых}}$	Максимальное значение тока, который допускается пропускать через фотодиоды при включенном состоянии оптопары	T, T <sup>2</sup> , ДТ, У
Ток утечки на выходе $I_{\text{ут}}$	Ток на выходе оптопары при $I_{\text{вх}}=0$ и заданным значением и полярностью $U_{\text{вых}}$	T, T <sup>2</sup> , ДТ, Д, У
Выходное остаточное напряжение (напряжение насыщения) $U_{\text{ост}}$	Значение напряжения на включенном фототиристоре или фоторезисторе в режиме насыщения	T, T <sup>2</sup> , У
Выходная емкость $C_{\text{вых}}$	Емкость фотоприемника	Все виды

Кроме того, используются предельные входные параметры:

максимальный входной ток  $I_{\text{вх},\text{max}}$  — максимальное значение постоянного прямого тока, который допускается пропускать через излучающий диод оптопары;

обратное входное напряжение  $U_{\text{вх},\text{обр}}$  — максимальное значение обратного напряжения любой формы (постоянное, импульсное, синусоидальное и др.), которое может быть приложено к входу оптопары в обратном направлении.

Выходные параметры оптопар — параметры фотоприемников оптопар — сведены в табл. 5.3.

### 5.5.3. ПЕРЕДАТОЧНЫЕ ПАРАМЕТРЫ И ПАРАМЕТРЫ ИЗОЛЯЦИИ ОПТОПАР

Передаточные параметры характеризуют эффективность передачи электрического сигнала с входа оптопары на выход. Эффективность передачи энергии сигнала описывают коэффициентом передачи (обычно по току), а скорость передачи сигнала — временными параметрами.

Основным параметром, который характеризует передачу сигнала со входа оптопары на ее выход, для всех типов оптопар (кроме тиристорных) является коэффициент передачи по току  $k_I$ , т. е. отношение тока на выходе оптопары  $I_{\text{вых}}$  к вызвавшему его входному току  $I_{\text{вх}}$ :

$$k_I = I_{\text{вых}}/I_{\text{вх}}. \quad (5.64)$$

Зависимость  $I_{\text{вых}}=f(I_{\text{вх}})$ , которая называется передаточной характеристикой, в общем случае нелинейная для оптопар. При этом различают статический коэффициент передачи  $k_I$ , который определяется по формуле (5.64), и дифференциальный коэффициент передачи

$$k_{Id} = \lim_{\Delta I_{\text{вх}} \rightarrow 0} \frac{\Delta I_{\text{вых}}}{\Delta I_{\text{вх}}} = \frac{dI_{\text{вых}}}{I_{\text{вх}}}. \quad (5.65)$$

Нелинейность передаточной характеристики связана с нелинейностью излучательной характеристики излучателя оптопары, а также с зависимостью  $k_{Id}$  фотоприемника от выходного тока.

Тиристорная оптопара работает только в ключевом режиме, и параметр  $k_I$  для нее не имеет смысла. Передаточная характеристика здесь определяется входным током тиристорной оптопары, при котором фототиристор включается. В паспорте на тиристорную оптопару задается значение тока включения — минимальное значение входного тока, при котором гарантируется надежное отпирание фототиристора. Кроме того, задается максимально допустимый входной ток помехи  $I_{\text{вх},\text{ном max}}$  — максимальное значение входного тока тиристорной оптопары, при котором фототиристор не включается. Параметр  $I_{\text{вх},\text{ном max}}$  характеризует помехоустойчивость тиристорной оптопары.

Быстродействие оптопар характеризуют следующие временные параметры переходной характеристики выходного тока  $i_{\text{вых}}(t)$ , получаемой при подаче на вход прямоугольного импульса с амплитудой  $I_{\text{вх}}$  (рис. 5.61):

время нарастания выходного тока  $t_{\text{нар}}$  — время нараста-

ния выходного тока от уровня  $0,1I_{\text{вых, max}}$  до уровня  $0,9I_{\text{вых, max}}$ ;

время задержки при включении  $t_{\text{зд}}$  — время от момента подачи  $t_0$  импульса входного тока до момента нарастания выходного тока до уровня  $0,1 I_{\text{вых, max}}$ .

Сумма времени задержки и времени нарастания при включении составляет время включения  $t_{\text{вкл}}$  оптопары:  $t_{\text{вкл}} = t_{\text{зд}} + t_{\text{нар}}$ . Аналогичным образом определяются время спада  $t_{\text{сп}}$ , время задержки при выключении и время выклю-

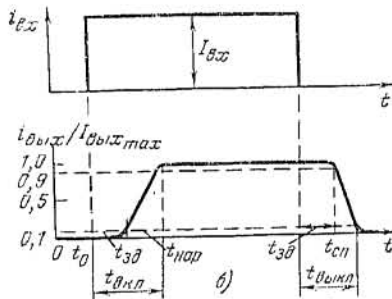


Рис. 5.61. Диаграммы переключения оптопары

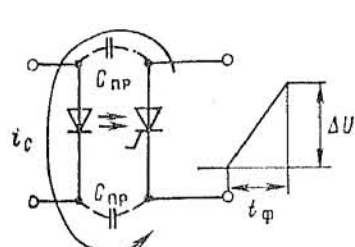


Рис. 5.62. Влияние проходной емкости оптопары

чения. Быстродействие оптопары характеризуется временем переключения  $t_{\text{пер}} = t_{\text{вкл}} + t_{\text{выкл}}$ .

Быстродействие некоторых классов оптопар задается граничной частотой  $f_{\text{гр}}$  или максимальной скоростью передачи информации  $F$ . Оба параметра связаны со значением времени переключения.

Параметрами электрической изоляции оптопар являются максимально допустимое пиковое  $U_{\text{из,пик}}$  и статическое напряжение изоляции  $U_{\text{из}}$  между входом и выходом, сопротивление изоляции  $R_{\text{из}}$ , проходная емкость  $C_{\text{пр}}$  и максимально допустимая скорость нарастания выходного напряжения  $(dU/dt)_{\text{max}}$ . Важнейший параметр  $U_{\text{из,пик}}$  — именно он определяет возможности оптопары как элемента электрической изоляции. Пиковое напряжение изоляции ( $U_{\text{из,пик}}$ ) — пиковое значение напряжения с заданными параметрами длительности и частоты повторения, которое может быть приложено между входом и выходом оптопары и при котором сохраняется электрическая прочность оптопары. Статическое максимально допустимое напряжение

между входом и выходом  $U_{\text{из}}$  определяет электрическую прочность оптопары при постоянном напряжении (в статическом режиме). В статическом режиме задается также сопротивление изоляции  $R_{\text{из}}$  (при  $U_{\text{из}}$ ). Параметры  $C_{\text{пр}}$  и  $(dU/dt)_{\text{max}}$  определяют стойкость оптопары к скачкам напряжения на выходе. При таких скачках с высокой скоростью нарастания напряжения через излучатель оптопары может протекать емкостный ток  $i_C$  (рис. 5.62):

$$i_C = \frac{1}{2} \frac{dU}{dt} C_{\text{пр}}, \quad (5.66)$$

где  $C_{\text{пр}}$  — проходная емкость оптопары (емкость между входом и выходом оптопары).

При достаточном токе  $i_C$  может произойти ложное включение оптопары. Амплитуда напряжения  $U_{\text{max}}$  при этом может быть значительно меньше  $U_{\text{из,пик}}$ .

Обратная связь по постоянному току в оптопарах практически исключается, так как сопротивление изоляции  $R_{\text{из}} \approx 10^{12}$  Ом. Связь по переменному току может быть значительной, так как проходная емкость, характерная для большинства оптопар, равна примерно 1 пФ. В настоящее время единственной мерой уменьшения  $C_{\text{пр}}$  является увеличение расстояния между входом и выходом оптопары. Такие оптопары, как правило, имеют высокую стоимость, так как в оптический канал таких приборов для сохранения КПД необходимо вводить линзы или световолны.

#### 5.5.4. РЕЖИМЫ ЭКСПЛУАТАЦИИ ДИОДНЫХ ОТТОПАР

Типичным представителем этого класса являются оптопары, состоящие из арсенидогаллиевого излучателя и кремниевого  $p-i-n$  фотодиода, которые связаны кремнийорганической оптической средой.

При эксплуатации оптопар такого типа трудно получить  $t_{\text{пер}} = 20 \div 40$  нс, которое приводится в паспорте таких приборов. В самом деле, при тех малых выходных токах, которые обеспечивает эта оптопара, ее нагрузка должна быть 1—10 кОм, что при собственной выходной емкости оптопары около 10 пФ дает постоянную времени перезаряда, равную примерно 0,1—1 мкс. Таким образом, быстродействие такого типа оптопар определяется чаще всего ее выходной емкостью. Быстродействие оптопар, которое задается в справочниках, определяется при работе на нагрузку

50 Ом, что практически характеризует предельное быстродействие оптопары, и достижимо при особом построении цепи нагрузки.

Основные зависимости временных параметров быстродействия диодных оптопар от режима эксплуатации приведены на рис. 5.63. Изменение входного тока оптопары по-разному влияет на изменение  $t_{\text{нап}}$  и  $t_{\text{сп}}$ , т. е.  $I_{\text{нап}}$  практически не меняется. Характерно, что уже при  $U_{\text{обр}}=3 \div 5$  В переходные процессы в  $p-i-n$  фотодиоде протекают столь быстро, что быстродействие оптопары определяется излучателем и поэтому от напряжения на фотодиоде не зависит.

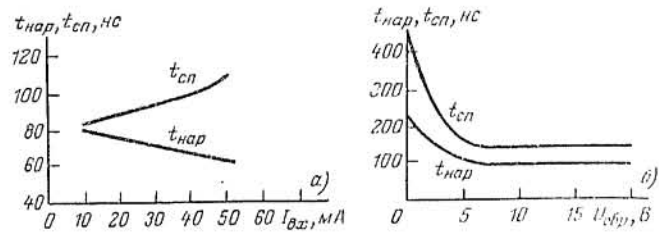


Рис. 5.63. Зависимости временных параметров оптопар от режима:  
а — от входного тока; б — от обратного напряжения

Для диодных оптопар характерна относительно слабая температурная зависимость  $k_I$  (рис. 5.64), обусловленная главным образом зависимостью от температуры  $T$  параметров излучателя; в диапазоне от  $-60$  до  $+85^{\circ}\text{C}$  зависимость  $k_I=f(T)$  практически линейна и характеризуется температурным коэффициентом:

$$\frac{dk_I}{dT} / k_I \approx -0,5 \% / ^{\circ}\text{C}.$$

В классе диодных оптопар выделяют обычно так называемые оптоизоляторы, которые между излучателем и фотоприемником имеют жесткий световод, упакованный в специальный корпус длиной 40—100 мм. Проходная емкость при этом падает до пичтожных значений, около 0,01 пФ, а электрическая прочность повышается до 20—50 кВ.

Диодные оптопары обладают наиболее линейной передаточной характеристикой среди других типов оптопар и широко применяются для передачи аналогового сигнала.

Широкий диапазон рабочих частот, малый уровень соб-

ственных шумов, слабая температурная зависимость параметров — это также преимущества диодных оптопар с точки зрения их применения в аналоговых устройствах.

Значение коэффициента передачи по току  $k_I$  диодной оптопары можно увеличить, введя в выходную цепь интегральный усилитель. Основная трудность передачи аналогового сигнала заключается прежде всего в узком диапазоне линейности передаточной характеристики и низкой степени этой линейности. Типичная передаточная характеристика — зависимость  $I_{\text{вых}}=f(I_{\text{вх}})$  для диодной оптопары (рис. 5.65) — линейна в диапазоне от  $I_{\text{вх min}}$  до  $I_{\text{вх max}}$ . При малых входных токах ( $I_{\text{вх}} < I_{\text{вх min}}$ ) излучательная способность излучателя оптопары еще не достигает нормального уровня. При больших входных токах ( $I_{\text{вх}} > I_{\text{вх max}}$ ) начинается сказываться разогрев структуры и, как следствие, температурное изменение параметров. На рис. 5.6 представлена также зависимость коэффициента передачи по току в относительных единицах  $k_I/k_{I_0}=f(I_{\text{вх}})$ , где  $k_{I_0}=I_{\text{вых}}/I_{\text{вх}}$  — коэффициент передачи по току на линейном участке передаточной характеристики; кроме того, видно, что на краях рабочего диапазона (при  $I_{\text{вх}}=I_{\text{вх min}}$  и  $I_{\text{вх}}=I_{\text{вх max}}$ ) коэффициент передачи по току  $k_I$  уменьшается. При заданном диапазоне изменения входного тока нелинейность  $k_I$  оптопары задается в процентах:

$$(k_I - k_{I_0})/k_{I_0} = \Delta k_I \cdot 100/k_{I_0}. \quad (5.67)$$

Используя современные диодные оптопары (например, АОД 101), при хорошей термостабилизации можно обеспечить передачу аналогового сигнала с нелинейностью 1—5 % при  $I_{\text{вх max}}/I_{\text{вх min}} \approx 2 \div 3$ . Снижение нелинейности ведет к резкому сужению рабочего диапазона токов. Существенно осложняет задачу неискаженной передачи аналоговой информации через оптопару большой разброс параметров, а также большая временная нестабильность этих параметров (примерно 5—20 % за 100 000 ч.).

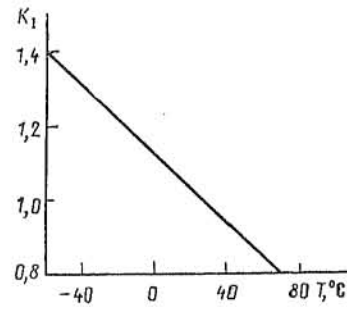


Рис. 5.64. Зависимость коэффициента передачи тока от температуры

Значительно повышается качество передачи аналогового сигнала при использовании дифференциальной диодной оптопары. Рассмотрим принцип улучшения линейности передаточной характеристики с помощью дифференциальной диодной оптопары на примере схемы рис. 5.66. СИД оптопары СД облучает два однотипных, имеющих одинаковые параметры фотодиода  $\Phi D_1$  и  $\Phi D_2$ . Ток СИД  $I_{cd}$  в такой схеме определяется не только входным током  $I_{bx}$ , но и током обратной связи  $I_{\phi 1}$ :

$$I_{cd} = k_1 (I_{bx} - I_{\phi 1}) = k_1 (I_{bx} - k_{I_1} I_{cd}), \quad (5.68)$$

где  $k_1$  — коэффициент усиления каскада  $A_1$ ;  $k_{I_1}$  — коэффициент передачи по току оптопары СД— $\Phi D_1$ .

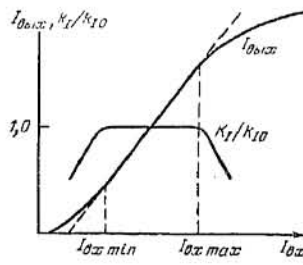


Рис. 5.65. Передаточная характеристика диодной оптопары

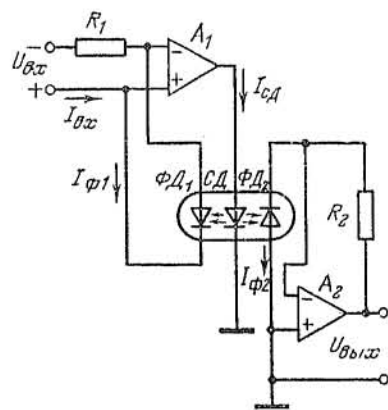


Рис. 5.66. Усилитель с дифференциальной оптопарой

Из (5.68) имеем

$$I_{cd} = k_1 I_{bx} / (1 + k_1 k_{I_1}). \quad (5.69)$$

При глубокой обратной связи ( $k_1 k_{I_1} \gg 1$ ) ток СИД  $I_{cd} = I_{bx}/k_{I_1}$  и фототок  $I_{\phi} = k_{I_2} I_{bx}/k_{I_1}$ . Для однотипных оптопар коэффициенты  $k_{I_1}$  и  $k_{I_2}$  одинаковы и изменяются в равной степени. В результате  $i_{\phi 2}(t) = i_{bx}(t)$  и не зависит от нелинейности и нестабильности характеристик оптопары. Усиление полезного сигнала обеспечивается каскадом  $A_2$ . Нелинейность усиления такого усилителя с дифференциальной оптопарой составляет 0,01—0,2 %, стабильность  $k_1$  в течение 100 000 ч равна 0,075 %.

Особым случаем эксплуатации следует считать работу диодных оптопар в фотогальваническом режиме (рис. 5.67). Основным требованием к таким оптопарам — источникам энергии с электрической изоляцией — является высокий КПД:

$$\eta = P_{\text{вых}}/P_{\text{вх}}, \quad (5.70a)$$

где  $P_{\text{вых}}$  — максимальная мощность, которая может быть отдана фотоприемником в нагрузку. Для типичной ВАХ

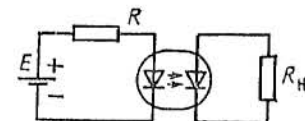


Рис. 5.67. Диодная оптопара в фотогальваническом режиме

$P_{\text{вых}} = a I_k U_x$ , где  $a = 0,7 \div 0,8$  (см. рис. 5.45). Подставляя значение выходного тока  $I_k$  из (5.64), получаем

$$\eta = a k_1 U_x / U_{\text{вх}}. \quad (5.70b)$$

Следует иметь в виду, что в данном выражении используется значение  $k_1$ , измеренное в режиме короткого замыкания на выходе; кроме того, для таких оптопар выгодно использовать фотоприемники на основе широкозонных полупроводников, которые обеспечивают большое значение  $U_x$ .

Оптопары, предназначенные для эксплуатации в фотогальваническом режиме, характеризуются большим значением  $k_1 \geq 3 \div 4 \%$ ; измерение  $k_1$  производится без приложения обратного напряжения.

### 5.5.5. РЕЖИМЫ ЭКСПЛУАТАЦИИ ТРАНЗИСТОРНЫХ ОТВЕРСТИЙ

В этих приборах значение выходного тока обычно достаточно для действия последующих устройств.

В качестве фотоприемника чаще всего используются кремниевые планарные транзисторы  $n-p-n$  с внешними выводами только эмиттера и коллектора, иногда выводят и базовый электрод. В качестве излучателя используются арсенидогаллиевые излучающие диоды.

Характеристики транзисторной оптопары существенно отличаются от аналогичных характеристик диодной. Пере-

даточная характеристика по току существенно отклоняется от линейной зависимости, причем тем больше, чем выше усиливательные свойства самого транзистора и чем больше входной ток. Температурная зависимость коэффициента передачи по току иллюстрируется рис. 5.68. При больших входных токах (кривая 2) эта зависимость такая же, как и у диодной оптопары, при малых (кривая 1) существенно отличается. Характер рассмотренных зависимостей объясняется видом зависимости излучательной способности излучателя и коэффициента передачи фототранзистора от температуры и тока.

Существенное повышение коэффициента передачи возможно в оптопаре с составными фототранзисторами. Одна-

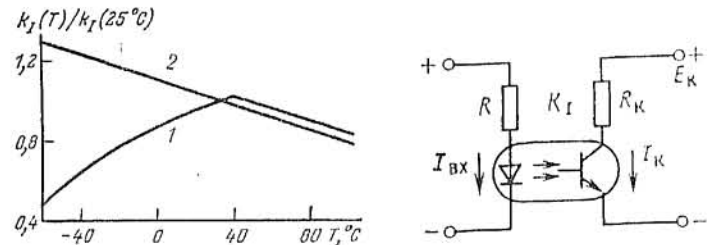


Рис. 5.68. Зависимость коэффициента передачи тока транзисторной оптопары от температуры

Рис. 5.69. Транзисторная оптопара в ключевом режиме эксплуатации

ко при этом обычно значительно снижается быстродействие и ухудшается температурная стабильность. Так, при изменении температуры от 25 до 100 °C темповий ток составного транзистора возрастает на 4—5 порядков величины, тогда как у обычного фототранзистора это изменение не превышает 2—3 порядков. В результате приходится снижать предельную рабочую температуру оптопары.

Вследствие, прежде всего, высокой нелинейности передаточной характеристики транзисторных оптопар, а также сильной температурной зависимости параметров, высокого уровня шумов и узкой полосы рабочих частот транзисторные оптопары относительно редко применяются для передачи аналогового сигнала.

Основной режим эксплуатации транзисторных оптопар — ключевой. Простейший ключ на транзисторной опто-

паре изображен на рис. 5.69. Критерий насыщения фототранзистора оптопары при заданном коллекторном токе насыщения  $I_{\text{КН}}$  можно представить в виде

$$I_{\text{вх}} \geq I_{\text{вх,гр}} = I_{\text{КН}}/k_1 \approx E_{\text{К}}/R_{\text{K}} k_1 \quad (5.71)$$

где  $I_{\text{вх,гр}}$  — входной граничный ток оптопары.

Наибольший коэффициент передачи по току  $k_1$  (до 100 и более) и наибольшее значение выходных токов и напряжений имеют оптопары с составным транзистором. Однако этот класс транзисторных оптопар обладает наихудшим быстродействием ( $t_{\text{пер}} \approx 100$  мкс). Наибольшее быстродействие имеют диодно-транзисторные оптопары ( $t_{\text{пер}} \approx 2$  мкс).

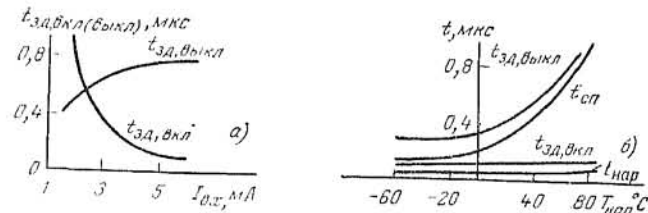


Рис. 5.70. Зависимости временных параметров диодно-транзисторных оптопар:  
а — от входного тока; б — от температуры

Зависимости временных параметров от выходного тока (рис. 5.70, а) посят характер, аналогичный зависимостям диодных оптопар; подтверждается общая для всех оптопар с СИД особенность — резкое возрастание  $t_{\text{3d}}$  при переходе к малым  $I_{\text{вх}}$  (для большинства транзисторных оптопар область  $I_{\text{вх}} < 10$  мА является нерабочей областью). При повышении температуры инерционность транзисторных оптопар увеличивается (рис. 5.70, б).

### 5.5.6. СИСТЕМА ОБОЗНАЧЕНИЙ ОПТОПАР

Рассмотрим систему обозначений оптопар, выпускаемых в СССР. Обозначение отечественных оптопар состоит из семи элементов, например АОД 101Б. Первые три элемента обозначения — буквы: первая буква определяет материал излучателя (А—GaAs и GaAlAs), вторая буква (буква О) указывает на принадлежность прибора к классу оптопар; третья буква показывает тип фотоприемника

(Д — фотодиод, Т — фототранзистор, У — фототиристор и т. д.). За тремя буквами в обозначении следует трехзначный порядковый номер и, наконец, буква, определяющая группу приборов данного типа.

У бескорпусных оптопар в конце обозначения добавляется еще одна цифра, характеризующая вид конструктивного исполнения. Например, АОД 120А-1 — бескорпусная диодная оптопара, порядковый номер 120, исполнение 1 (с гибкими выводами), группа А ( $k_1=1\%$ ).

#### Контрольные вопросы

1. Перечислите и дайте определение оптическим параметрам СИД. Оцените относительное пропускание фильтра контраста для СИД с  $\lambda_{max}=585$  нм.

2. Определите основные особенности излучающих диодов на основе гетероструктур.

3. Дайте определение лазера, лазерного усиления, населенности и инверсии населения, порога генерирования лазера, расходности лазерного излучения. Определите необходимые условия генерации лазерного излучения.

4. Определите условия лазерного усиления в инжекционном лазере. Перечислите и поясните особенности эксплуатации полупроводниковых лазеров по сравнению с лазерами других типов.

5. Нарисуйте семейство ВАХ фотодиода. Покажите области ВАХ, соответствующие диодному и фотогальваническому режимам работы фотодиода. Поясните, почему в отличие от обычного диода фотодиод не может работать при прямом смещении.

6. Поясните физические причины повышения быстродействия фотодиодов с *p-i-n* структурой, со структурой металл — полупроводник и гетероструктурой. Определите преимущества и недостатки лавинных фотодиодов.

7. Определите, произойдет ли включение тиристорной оптопары типа АОУ 103, если между анодом и катодом тиристора оптопары появится импульс прямого напряжения с амплитудой  $A_{ua}=200$  В и длительностью фронта 1 мкС.

8. Определите граничное минимальное значение входного тока транзисторной оптопары типа АОТ 123Б, обеспечивающее насыщение транзистора оптопары при  $E_k=20$  В,  $R_k=1$  кОм.

9. Оцените минимально необходимую длительность импульса управления тиристорной оптопарой при включении на активно-индуктивную нагрузку: напряжение анодного питания 200 В, сопротивление нагрузки 10 Ом, индуктивность нагрузки 50 мГн, ток включения тиристора 50 мА, амплитуда тока управления 100 мА.

## Глава шестая

### МОДЕЛИ ПОЛУПРОВОДНИКОВЫХ ПРИБОРОВ

#### 6.1. МОДЕЛИ ПОЛУПРОВОДНИКОВЫХ ПРИБОРОВ В СИСТЕМЕ ПРОЕКТИРОВАНИЯ ЭЛЕКТРОННЫХ УСТРОЙСТВ

##### 6.1.1. ОСОБЕННОСТИ МОДЕЛИРОВАНИЯ ПОЛУПРОВОДНИКОВЫХ ПРИБОРОВ

В зависимости от степени использования ЭВМ при проектировании электронных устройств можно выделить четыре уровня.

1. На первом уровне с помощью ЭВМ проводится расчет по отдельным формулам.

2. Второй, более высокий уровень применения ЭВМ характеризуется использованием стандартных программ общего математического обеспечения.

3. На третьем уровне используются специальные программы проектирования заданного класса электронных устройств.

4. На четвертом уровне проектирования специальные программы объединяются в одну систему, обеспечивающую автоматизацию основных трудоемких вычислительных операций.

Сам процесс проектирования электронного устройства разбивается на ряд последовательных этапов, для каждого из которых разрабатываются соответствующие математические, программные и технические средства автоматизации проектирования.

Разработка принципиальной схемы является важнейшим этапом проектирования электронного устройства, в который входят (рис. 6.1):

I. Синтез (выбор) принципиальной схемы на основе опыта создания схем подобного класса (блоки 1, 2а). Общих регулярных алгоритмов для синтеза схем большинства электронных устройств не существует, и выбор схемы не однозначен. Собственный опыт разработчика и его интуиция играют при этом существенную роль.

II. Выбор типов элементов схемы и формирование математических моделей элементов. Запоминание моделей в библиотеке моделей внешней памяти ЭВМ, составление уравнений функционирования устройства на основе информации, содержащейся в техническом задании и в библиотеке моделей (блоки 2б, 3, 4).